

04; 07; 09

© 1992

ЛОКАЛЬНЫЕ ПАРАМЕТРЫ ПЛАЗМЕННОГО РЕАКТОРА ПРИ ДИССОЦИАЦИИ УГЛЕКИСЛОГО ГАЗА В СВЧ РАЗРЯДЕ

Ю.Б. Е ф и м о в а, М.А. К е р и м к у л о в,
В.Г. К и р и л л о в а, В.Н. О ч к и н,
С.Ю. С а в и н о в, С.Н. Ц х а й

Диссоциация CO₂ исследовалась в различных разрядных системах – в тлеющем, ВЧ, СВЧ, плазменно-пучковом, дуговом разрядах и др. Интерес к этому процессу связан с широким спектром технологических применений и возможностью на его примере изучать особенности плазмохимической кинетики [1–3]. Наибольший КПД разложения (до 80–90%) был достигнут в СВЧ разряде умеренного давления (50–200 Тор). По сложившемуся мнению, в последнем случае это связано с эффективным возбуждением нижних колебательных уровней электронным ударом с последующим колебательно-колебательным *VV* обменом, приводящим молекулы к границе диссоциации. При такой интерпретации естественно ожидать заметных различий скорости разложения в различных областях плазмы, в частности из-за влияния температуры газа на скорости процессов колебательной релаксации. Однако попытки соответствующих экспериментальных исследований до настоящего времени не были обеспечены адекватными пространственно-локальными методиками диагностики.

В данной работе методом КАРС проведены локальные измерения газовой и колебательной температур, а также плотностей молекул CO.

Схема реактора в целом близка к исследованвшимся ранее [3, 4]. Разряд осуществлялся в кварцевой трубке с внутренним диаметром 27 мм. Трубка пересекала волноводный СВЧ тракт прямоугольного сечения 4.5 x 9 см. Мощность СВЧ излучения ~1.2 кВт, частота $f = \frac{\omega}{2\pi} = 2.4$ ГГц. Давление CO₂ 70...120 Тор. Для предотвращения контакта плазмы со стенками трубы струя газа на входе в трубку закручивалась [3, 4].

Используемый КАРС-спектрометр и его параметры описаны в [5]. Зондирующие лазерные пучки распространялись в направлении, параллельном оси трубы. Ось трубы могла смещаться относительно лазерных пучков. Оптическая фокусирующая система обеспечивала локализацию области генерации КАРС-сигнала с размерами ~1 мм вдоль и ~0.1 мм поперек лазерных пучков.

Измерения колебательных T_K и газовых T_Г температур проводились по интенсивностям в колебательной и вращательной структурах КАРС спектров CO соответственно. Плотность молекул CO определялась из полных интенсивностей КАРС-сигналов. Коррек-

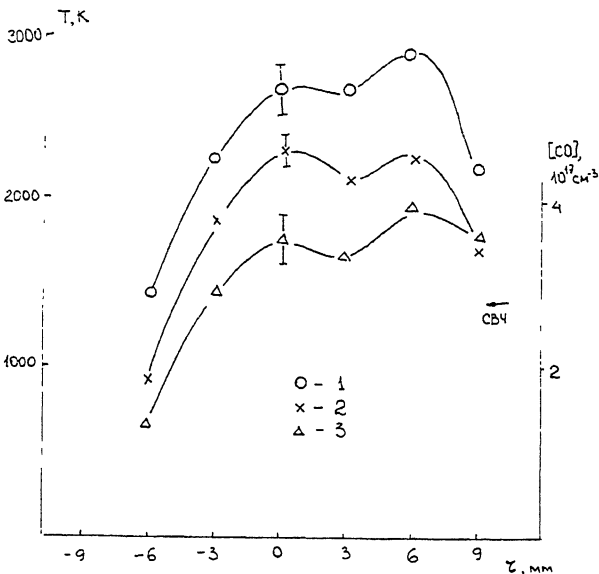


Рис. 1. Распределение по диаметру разряда колебательных (1), газовых (2) температур и плотность молекул СО (3).

нность калибровок контролировалась, в частности в экспериментах с равновесным газом.

На рис. 1 представлены примеры распределений T_K , T_G и $[CO]$ по диаметру разрядной трубки при давлении $p = 120$ Тор, удельном энерговкладе $J = 5$ Дж·см $^{-3}$. Зависимости, характерные для всех исследованных условий, существенно несимметричны относительно оси трубы. Они достаточно хорошо коррелируют друг с другом, имея большие значения со стороны падения СВЧ волны. Другая, обращающаяся на себя систематическая особенность, связана с наличием провала на всех зависимостях. Отметим в этой связи, что асимметрия достаточно сильна и использование процедур восстановления пространственных параметров, основанных на решении обратных задач типа инверсия Абеля, было бы некорректным.

Интерпретация первой особенности достаточно понятна и состоит в ослаблении СВЧ волны, проходящей через плазму. Природа провала менее очевидна и, на наш взгляд, связана с эффектом скинирования.

Оценим в связи с этим предположением толщину δ скин-слоя исходя из экспериментальных усредненных данных о параметрах электронной компоненты, приведенных в [2] для близких условий. В соответствии с указанными измерениями плотность электронов $n_e \sim 10^{13}$ см $^{-3}$, температура электронов $T_e \sim 1.5$ эВ, эффективная частота столкновений электронов с молекулами $\nu_{\text{эфф}} \sim 1.2 \times 10^{11} \text{ с}^{-1}$. В таких условиях [2], т. е. $n_e > n_c$, $\omega_{\text{эфф}} > \omega_{\text{эфф}}$.

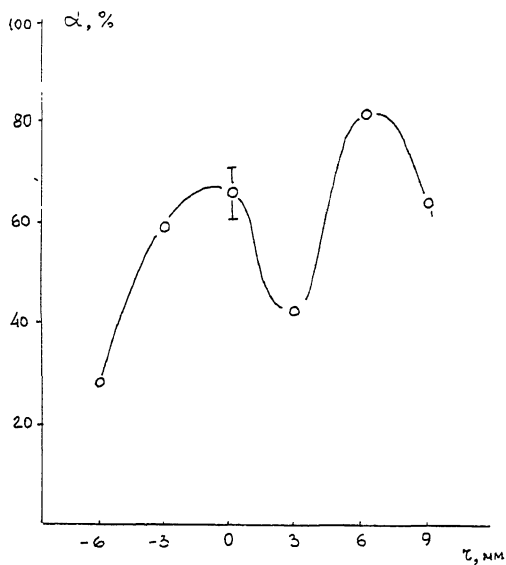


Рис. 2. Распределение по диаметру разряда степени диссоциации α молекул CO_2 .

$$\delta = \frac{c}{\omega} \left(\frac{2n_c \lambda_{\text{эфф}}}{n_e \omega} \right)^{1/2},$$

где $n_c = m \omega^2 (4\pi e^2)^{-1}$ — критическая концентрация, при которой плазменная частота равна частоте поля, m и e — масса и заряд электрона. В рассматриваемом случае $\delta \sim 7$ мм.

Визуально наблюдаемый диаметр светящегося плазменного контрагированного-столба ~ 10 мм сопоставим с толщиной δ , что и приводит к не очень резко выраженному провалу и поглощаемой СВЧ мощности в середине плазменного шнуря. Большая часть мощности поглощается на периферии, что и соответствует максимумам в зависимостях для нагрева и колебательного возбуждения молекул.

На рис. 2 показано распределение степени диссоциации α молекул CO_2 по диаметру разрядной трубки, соответствующее данным рис. 1 (предполагалось выполнение баланса по углероду и постоянство давления по диаметру). Видно, что локальные значения α достигают значений $\sim 80\%$ в областях наибольшего энерговклада. Эти данные позволяют объяснить насыщение в зависимости суммарной степени диссоциации α на выходе плазмохимического реактора от энерговклада J на уровне $\sim 25\%$ [3, 6]. Поскольку время нахождения частиц рабочего газа в разряде при используемых скоростях протока газа $Q \sim 0.1\text{--}0.35 \text{ л/с}$ $\tau_p \leq 10^{-2}$ с меньше времени термодиффузии частиц по радиусу трубы $\tau_d \sim 0.2$ с, то насы-

шение $\alpha(J)$ определяется долей потока молекул, протекающего через химически активную область.

С этой точки зрения „модельная“ геометрия реактора и частота СВЧ поля, характерные для большинства ранее проведенных, в том числе упомянутых выше экспериментов, не являются вполне оптимальными в отношении достижения наибольшей степени диссоциации CO₂. Это обстоятельство, связанное со скинированием энерговклада, должно особенно внимательно учитываться при масштабировании реакторов для практических нужд технологии.

С п и с о к л и т е р а т у р ы

- [1] Очкян В.Н. // Тр. ФИАН. 1974. Т. 78. С. 3-59.
- [2] Словецкий Д.И. Механизмы химических реакций в неравновесной плазме. М.: Наука, 1980. 310 с.
- [3] Русанов В.Д., Фридман А.А. Физика химически активной плазмы. М.: Наука, 1984. 415 с.
- [4] Бутылкин Ю.П., Животов В.К., Крашенинников Е.Г. // ЖТФ. 1981. Т. 51. С. 925-932.
- [5] Очкян В.Н., Савинов С.Ю., Соболев Н.Н., Цхай С.Н. // ЖТФ. 1988. Т. 58. С. 1283-1290.
- [6] Керимкулов М.А., Очкян В.Н., Савинов С.Ю., Спириidonов М.В., Цхай С.Н. // Письма в ЖЭТФ. 1991. Т. 54. В. 4. С. 212-216.

Поступило в Редакцию
28 февраля 1992 г.